

Побудова оцінки імовірності атаки подвійної витрати у протоколі консенсусу Proof of Stake за наявності чекпоінтів

Коломієць Андрій Юрійович

Національний технічний університет України

«Київський політехнічний інститут імені Ігоря Сікорського»

Фізико-технічний інститут

Науковий керівник: д.т.н., проф. кафедри ММЗІ Ковальчук Л.В.

24 червня 2022 р.

Актуальність дослідження

- Популяризація блокчейн технології в криптовалютах.
- Покращення безпеки блокчейн мережі до протидії атаки подвійної витрати з проколом консенсусу Proof of Stake.
- Безпека мережі блокчейну, що містить у собі механізм чекпоінтів, який можливо за недоведеними припущеннями протидіятиме атаці подвійної витрати з протоколом консенсусу Proof of Stake.

Мета та завдання дослідження

Метою дослідження є оцінка імовірності атаки подвійної витрати у блокчейнах з протоколом консенсусу Proof of Stake при наявності контрольних точок.

Завдання дослідження:

- огляд літератури за зазначеною тематикою;
- знайомство з протоколами консенсусу Proof of Work та Proof of Stake, та атаками, що можуть відбутися у кожній консенсусній моделі;
- знаходження явного виразу імовірності для атаки подвійної витрати на протокол консенсусу Proof of Stake за умови існування чекпоінтів;
- отримати чисельні результати за доведеною формулою, та переконатися, що вони підтверджують адекватність отриманої формули.

Об'єкт і предмет дослідження

Об'єктом дослідження є процес функціонування блокчейну з протоколом консенсусу Proof of Stake за умови наявності чекпоінтів.

Предметом дослідження є аналіз стійкості блокчейну до атаки подвійної витрати у протоколі консенсусу Proof of Stake за наявності чекпоінтів.

Поняття блокчейну

Блокчейн — це цифровий реєстр стійкий до несанкційованого доступу, реалізований розподіленим чином без центрального органу керування, підтримується та керується спільно розподіленою групою учасників. В системі відсутня централізація у вигляді фінансових установ, банків чи довірених осіб.

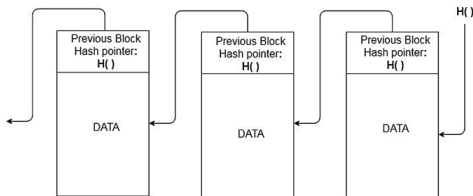


Рис.: Блокчейн

Протоколи консенсусу

Proof of Work – це протокол консенсусу, що заснований на доведенні виконаної роботи.

Proof of Stake – це модель протоколу консенсусу, котра залежить від того скільки коштів у вигляді криптовалюти інвестував кожен користувач в систему.



Поняття чекпоінту

Контрольні точки або чекпоінти – це коли хеш-значення блоку до певного моменту часу жорстко закодовано в офіційному клієнті Bitcoin. Клієнт сприймає всі транзакції, підтверджені до контрольної точки, як незворотні.

Приклади криптовалют з чекпоінтами:

- Bitcoin (1000 blocks);
- Bitcoin Cash (10 blocks);
- Ethereum 2.0 (64 slots);
- Polkadot (64 slots);
- Cardano and Solana (432 000 slots or 5 days);

Класична атака подвійної витрати у протоколі консенсусу Proof of Stake



Рис.: Блокчейн у вигляді послідовності часових слотів.

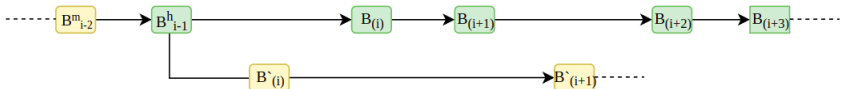


Рис.: Візуалізація атаки.

Атака відбувається успішно, якщо зловмисникам вдалося побудувати довший або принаймні однаковий за кількістю блоків ланцюг у порівнянні з ланцюгом чесних майнерів.

Явний вираз для імовірності атаки подвійної витрати у протоколі консенсусу Proof of Stake

Theorem

$$\begin{aligned} P(A(z)) &= \sum_{k=z}^{\infty} p^z q^k C_{k+z-1}^k + \sum_{k=0}^z \left(\frac{q}{p}\right)^{z-k} p^z q^k C_{k+z-1}^k = \\ &= 1 - \sum_{k=0}^z (p^z q^k - p^k q^z) C_{k+z-1}^k, \end{aligned}$$

де

p – частка чесних майнерів;

q – частка зловмисних майнерів;

z – кількість блоків підтвердження побудовані чесними майнерами;

k – кількість блоків побудованих зловмисником.

Атака подвійної витрати у протоколі консенсусу Proof of Stake з чекпоінтами

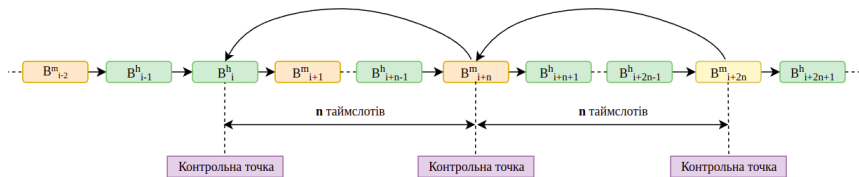


Рис.: Блокчейн ланцюг у вигляді послідовності часових слотів.

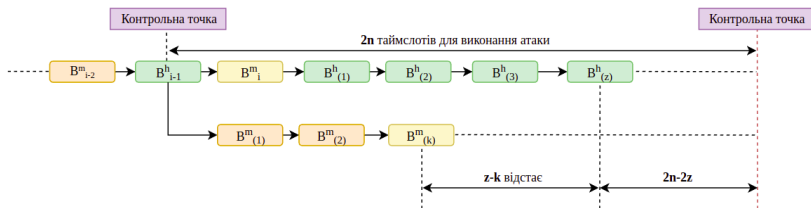


Рис.: Візуалізація атаки.

Явний вираз для імовірності атаки подвійної витрати у протоколі консенсусу Proof of Stake з чекпоінтами

Theorem

$$P(A(z)) = \sum_{k=0}^{z-1} C_{z+k-1}^k p^z q^k \sum_{i=0}^{n-z} p_i + \sum_{k=z}^{2n-z} C_{z+k-1}^k p^z q^k,$$

де :

$$p_i = \left(C_{z-k+2i}^i p^i q^{z-k+i} - \sum_{j=0}^{i-1} p_j C_{2i-2j}^{i-j} (pq)^{i-j} \right),$$

p – частка чесних майнерів;

q – частка зловмисних майнерів;

z – кількість блоків підтвердження побудовані чесними майнерами;

n – відстань між двома чекпоінтами, що вимірюється у тайм слотах.

k – кількість блоків підтвердження, що побудували зловмисні майнери.

Результати для порівняння

Табл.: Мінімальна кількість блоків підтвердження для класичного випадку атаки, при якій $P_z \leq 10^{-3}$

| q | 0.10 | 0.15 | 0.20 | 0.25 | 0.30 | 0.35 | 0.40 | 0.45 |
|------------------------|------------------|----------|----------|----------|-----------|----------|---------|---------|
| $P(A(z)) \leq 10^{-3}$ | 0,00000785976466 | 0,000288 | 0,000284 | 0,000748 | 0,0033027 | 0,000788 | 0,00047 | 0,00099 |
| z | 10 | 10 | 15 | 20 | 25 | 60 | 150 | 540 |

Табл.: Мінімальна кількість блоків підтвердження для випадку атаки з чекпоінтами, при якій $P_z \leq 10^{-3}$

| q | 0,1 | 0,15 | 0,2 | 0,25 | 0,3 | 0,35 | 0,4 | 0,45 |
|---------------------|------------------|----------|----------|----------|----------|----------|----------|----------|
| $P(A(z)) < 10^{-3}$ | 0,00000785976465 | 0,000287 | 0,000284 | 0,000747 | 0,003303 | 0,000787 | 0,000471 | 0,000847 |
| z | 10 | 10 | 15 | 20 | 25 | 60 | 150 | 500 |

Результати для порівняння

Табл.: Порівняльна таблиця з кількістю блоків підтвердження та ймовірностями здійснення атаки подвійної витрати в класичній блокчейн-системі, та блокчейн-системі з чекпоінтами.

| Частка | | Класичний випадок блокчейн-системи | | Блокчейн-система, що містить чекпоінти | |
|--------|------|------------------------------------|-------------------|--|-------------------|
| n | q | z | Ймовірності атаки | z | Ймовірності атаки |
| 50 | 0,1 | 6 | 0,000591412160000 | 6 | 0,00059141216000 |
| | 0,15 | 9 | 0,000590058017484 | 9 | 0,00059005801748 |
| | 0,2 | 13 | 0,000738096069111 | 13 | 0,00073809606849 |
| | 0,25 | 20 | 0,000747285192981 | 20 | 0,00074728135353 |
| | 0,3 | 32 | 0,000875915224973 | 32 | 0,00087305341156 |
| | 0,35 | 50 | 0,002188394725421 | 50 | 0,00145056147656 |
| | 0,4 | 50 | 0,043860884260170 | 50 | 0,02709919775701 |
| | 0,45 | 50 | 0,317304397874194 | 50 | 0,18272818468614 |
| 100 | 0,1 | 6 | 0,000591412160000 | 6 | 0,00059141216000 |
| | 0,15 | 9 | 0,000590058017484 | 9 | 0,00059005801748 |
| | 0,2 | 13 | 0,000738096069111 | 13 | 0,00073809606911 |
| | 0,25 | 20 | 0,000747285192981 | 20 | 0,00074728519298 |
| | 0,3 | 32 | 0,000875915224973 | 32 | 0,00087591508657 |
| | 0,35 | 58 | 0,000965098041430 | 58 | 0,00096385710585 |
| | 0,4 | 100 | 0,004320189876101 | 100 | 0,00263540335618 |
| | 0,45 | 100 | 0,156775865424405 | 100 | 0,08870061556165 |
| 150 | 0,1 | 6 | 0,000591412160000 | 6 | 0,00059141216000 |
| | 0,15 | 9 | 0,000590058017484 | 9 | 0,00059005801748 |
| | 0,2 | 13 | 0,000738096069111 | 13 | 0,00073809606911 |
| | 0,25 | 20 | 0,000747285192981 | 20 | 0,00074728519298 |
| | 0,3 | 32 | 0,000875915224973 | 32 | 0,00087591522496 |
| | 0,35 | 58 | 0,000965098041430 | 58 | 0,00096509262566 |
| | 0,4 | 133 | 0,000994204554214 | 131 | 0,00099269100223 |
| | 0,45 | 150 | 0,082748003254018 | 150 | 0,04647043929210 |
| 200 | 0,1 | 6 | 0,000591412160000 | 6 | 0,00059141216000 |
| | 0,15 | 9 | 0,000590058017484 | 9 | 0,00059005801748 |
| | 0,2 | 13 | 0,000738096069111 | 13 | 0,00073809606911 |
| | 0,25 | 20 | 0,000747285192981 | 20 | 0,00074728519298 |
| | 0,3 | 32 | 0,000875915224973 | 32 | 0,00087591522497 |
| | 0,35 | 58 | 0,000965098041430 | 58 | 0,00096509801118 |
| | 0,4 | 133 | 0,000994204554214 | 133 | 0,00098816813374 |
| | 0,45 | 200 | 0,045094107137097 | 200 | 0,02521789162552 |

Практичні результати для класичної атаки

Табл.: Імовірності класичної атаки подвійної витрати на блокчейн без чекпоінтів.

| $\frac{q}{z}$ | 0.10 | 0.15 | 0.20 | 0.25 | 0.30 | 0.35 | 0.40 | 0.45 |
|---------------|-------------|-------------|-------------|-------------|-------------|-------------|-------------|-------------|
| 5 | 0,001781840 | 0,011257326 | 0,039162880 | 0,097854614 | 0,197617320 | 0,343438571 | 0,533135360 | 0,757158109 |
| 10 | 0,000007860 | 0,000288000 | 0,003158241 | 0,017806559 | 0,065106714 | 0,174947201 | 0,372184042 | 0,657928176 |
| 15 | 0,000000039 | 0,000008220 | 0,000284000 | 0,003568523 | 0,023307658 | 0,095273444 | 0,272425900 | 0,586064960 |
| 20 | 0,000000000 | 0,000000248 | 0,000026800 | 0,000748000 | 0,008673864 | 0,053573446 | 0,204117260 | 0,528630060 |
| 25 | 0,000000000 | 0,000000008 | 0,000002580 | 0,000160600 | 0,003302727 | 0,030712034 | 0,155151124 | 0,480591320 |
| 30 | 0,000000000 | 0,000000000 | 0,000000256 | 0,000035000 | 0,001276000 | 0,017837342 | 0,119104008 | 0,439334368 |
| 35 | 0,000000000 | 0,000000000 | 0,000000025 | 0,000007760 | 0,000500000 | 0,010458206 | 0,092100486 | 0,403281240 |
| 40 | 0,000000000 | 0,000000000 | 0,000000003 | 0,000001730 | 0,000196600 | 0,006176008 | 0,071620620 | 0,371386020 |
| 45 | 0,000000000 | 0,000000000 | 0,000000000 | 0,000000388 | 0,000078000 | 0,003667923 | 0,055944968 | 0,342909560 |
| 50 | 0,000000000 | 0,000000000 | 0,000000000 | 0,000000088 | 0,000031000 | 0,002188395 | 0,043860884 | 0,317304398 |
| 55 | 0,000000000 | 0,000000000 | 0,000000000 | 0,000000020 | 0,000012440 | 0,001310000 | 0,034492480 | 0,294150380 |
| 60 | 0,000000000 | 0,000000000 | 0,000000000 | 0,000000005 | 0,000005000 | 0,000788000 | 0,027195754 | 0,273115940 |
| 65 | 0,000000000 | 0,000000000 | 0,000000000 | 0,000000001 | 0,000002020 | 0,000474000 | 0,021490666 | 0,253933500 |
| 70 | 0,000000000 | 0,000000000 | 0,000000000 | 0,000000000 | 0,000000814 | 0,000286000 | 0,017015502 | 0,236383140 |
| 75 | 0,000000000 | 0,000000000 | 0,000000000 | 0,000000000 | 0,000000330 | 0,000173400 | 0,013495322 | 0,220281280 |
| 80 | 0,000000000 | 0,000000000 | 0,000000000 | 0,000000000 | 0,000000134 | 0,000105000 | 0,010719656 | 0,205472840 |
| 85 | 0,000000000 | 0,000000000 | 0,000000000 | 0,000000000 | 0,000000054 | 0,000063800 | 0,008526426 | 0,191825200 |
| 90 | 0,000000000 | 0,000000000 | 0,000000000 | 0,000000000 | 0,000000022 | 0,000038800 | 0,006790194 | 0,179224060 |
| 95 | 0,000000000 | 0,000000000 | 0,000000000 | 0,000000000 | 0,000000009 | 0,000023600 | 0,005413464 | 0,167569980 |
| 100 | 0,000000000 | 0,000000000 | 0,000000000 | 0,000000000 | 0,000000004 | 0,000014400 | 0,004320190 | 0,156775866 |

Практичні результати для атаки з чекпоінтами

Табл.: Ймовірність атаки подвійної витрати для випадку блокчейну з чекпоінтами (відстань між чекпоінтами $n = 50$).

| $\frac{g}{z}$ | 0,1 | 0,15 | 0,2 | 0,25 | 0,3 | 0,35 | 0,4 | 0,45 |
|---------------|----------------|----------------|----------------|----------------|----------------|----------------|----------------|----------------|
| 5 | 0,001781840000 | 0,011257326211 | 0,039162880000 | 0,097854612690 | 0,197616568315 | 0,343366854001 | 0,531145103303 | 0,736413569802 |
| 10 | 0,000007859765 | 0,000287014738 | 0,003158241098 | 0,017806556239 | 0,065105579550 | 0,174839299040 | 0,369204504278 | 0,627152503143 |
| 15 | 0,000000039252 | 0,000008223010 | 0,000283612898 | 0,003568520213 | 0,023306178834 | 0,095133228086 | 0,268576820035 | 0,546718896697 |
| 20 | 0,000000000207 | 0,000000247918 | 0,000026719163 | 0,000747281354 | 0,008672035230 | 0,053400794201 | 0,199411374949 | 0,481104058216 |
| 25 | 0,000000000001 | 0,000000007694 | 0,000002587264 | 0,000160530298 | 0,003300515949 | 0,030504447776 | 0,149542482626 | 0,424755943188 |
| 30 | 0,000000000000 | 0,000000000243 | 0,000000255042 | 0,000035064297 | 0,001274219556 | 0,017589772354 | 0,112489488954 | 0,374627975893 |
| 35 | 0,000000000000 | 0,000000000008 | 0,000000025457 | 0,000007746013 | 0,000495855528 | 0,010161694293 | 0,084295808643 | 0,328605502108 |
| 40 | 0,000000000000 | 0,000000000000 | 0,000000002563 | 0,000001720610 | 0,000192684196 | 0,005813829872 | 0,062289707195 | 0,284728899621 |
| 45 | 0,000000000000 | 0,000000000000 | 0,000000000258 | 0,000000376758 | 0,000072734569 | 0,003202204285 | 0,044362536086 | 0,240079435059 |
| 50 | 0,000000000000 | 0,000000000000 | 0,000000000021 | 0,000000066385 | 0,000022060913 | 0,001450561477 | 0,027099197757 | 0,182728184686 |

Практичні результати для атаки з чекпоінтами

Табл.: Ймовірність атаки подвійної витрати для випадку блокчейну з чекпоінтами (відстань між чекпоінтами $n = 100$).

| $\frac{q}{5}$ | 0,1 | 0,15 | 0,2 | 0,25 | 0,3 | 0,35 | 0,4 | 0,45 |
|---------------|----------------|----------------|----------------|----------------|----------------|----------------|----------------|----------------|
| 5 | 0,001781840000 | 0,011257326211 | 0,039162880000 | 0,097854614258 | 0,197617319954 | 0,343438321777 | 0,533026948061 | 0,750981309932 |
| 10 | 0,000007859765 | 0,000287014738 | 0,003158241098 | 0,017806558608 | 0,065106713695 | 0,174946834914 | 0,372025224891 | 0,648915747834 |
| 15 | 0,00000039252 | 0,000008223010 | 0,000283612899 | 0,003568523309 | 0,023307657785 | 0,095272982480 | 0,272225848899 | 0,574761678960 |
| 20 | 0,00000000207 | 0,000000247918 | 0,000026719163 | 0,000747285193 | 0,008673864168 | 0,053572896683 | 0,203879890103 | 0,515280022075 |
| 25 | 0,000000000001 | 0,000000007694 | 0,000002587265 | 0,000160534957 | 0,003302727045 | 0,030711401183 | 0,154878258430 | 0,465321943483 |
| 30 | 0,000000000000 | 0,000000000243 | 0,000000255043 | 0,000035069920 | 0,001276875697 | 0,017836627246 | 0,118796330599 | 0,422210583042 |
| 35 | 0,000000000000 | 0,000000000008 | 0,000000025459 | 0,000007752863 | 0,000499069008 | 0,010457407562 | 0,091757892283 | 0,384327196904 |
| 40 | 0,000000000000 | 0,000000000000 | 0,000000002565 | 0,000001729199 | 0,000196669843 | 0,006175123556 | 0,071242358545 | 0,350595018840 |
| 45 | 0,000000000000 | 0,000000000000 | 0,000000000260 | 0,000000388347 | 0,000078000807 | 0,003666948763 | 0,055529709603 | 0,320248210685 |
| 50 | 0,000000000000 | 0,000000000000 | 0,000000000027 | 0,000000087697 | 0,000031095400 | 0,002187324453 | 0,043406656003 | 0,292713530736 |
| 55 | 0,000000000000 | 0,000000000000 | 0,000000000003 | 0,000000019893 | 0,000012448799 | 0,001309453887 | 0,033996596291 | 0,267543330029 |
| 60 | 0,000000000000 | 0,000000000000 | 0,000000000000 | 0,000000004529 | 0,000005001348 | 0,000786156665 | 0,026654644160 | 0,244374188848 |
| 65 | 0,000000000000 | 0,000000000000 | 0,000000000000 | 0,000000001035 | 0,000002015247 | 0,000472983873 | 0,020899594928 | 0,222898912685 |
| 70 | 0,000000000000 | 0,000000000000 | 0,000000000000 | 0,000000000237 | 0,000000814006 | 0,000284915421 | 0,016368115609 | 0,202845003099 |
| 75 | 0,000000000000 | 0,000000000000 | 0,000000000000 | 0,000000000054 | 0,000000329401 | 0,000171616688 | 0,012782876401 | 0,183954443437 |
| 80 | 0,000000000000 | 0,000000000000 | 0,000000000000 | 0,000000000013 | 0,000000133406 | 0,000103139991 | 0,009929598364 | 0,165958383907 |
| 85 | 0,000000000000 | 0,000000000000 | 0,000000000000 | 0,000000000003 | 0,000000053942 | 0,000061585235 | 0,007639526511 | 0,148533054078 |
| 90 | 0,000000000000 | 0,000000000000 | 0,000000000000 | 0,000000000001 | 0,000000021620 | 0,000036191476 | 0,005773676084 | 0,131193297540 |
| 95 | 0,000000000000 | 0,000000000000 | 0,000000000000 | 0,000000000000 | 0,000000008367 | 0,000020386502 | 0,004198822974 | 0,112911933986 |
| 100 | 0,000000000000 | 0,000000000000 | 0,000000000000 | 0,000000000000 | 0,000000002596 | 0,000009459338 | 0,002635403356 | 0,088700615562 |

Практичні результати для атаки з чекпоінтами

Табл.: Ймовірність атаки подвійної витрати для випадку блокчейну з чекпоінтами (відстань між чекпоінтами $n = 150$).

| $\frac{q}{2}$ | 0,1 | 0,15 | 0,2 | 0,25 | 0,3 | 0,35 | 0,4 | 0,45 |
|---------------|----------------|----------------|----------------|----------------|----------------|----------------|----------------|----------------|
| 5 | 0,001781840000 | 0,011257326211 | 0,039162880000 | 0,097854614258 | 0,197617320000 | 0,343438569794 | 0,533127123407 | 0,754773785784 |
| 10 | 0,000007859765 | 0,000287014738 | 0,003158241098 | 0,017806558608 | 0,065106713763 | 0,174947198906 | 0,372172064464 | 0,654469017168 |
| 15 | 0,000000329252 | 0,000008223010 | 0,000283612899 | 0,003568523309 | 0,023307657870 | 0,095273441874 | 0,272410928363 | 0,581753083020 |
| 20 | 0,000000000207 | 0,000000247918 | 0,000026719163 | 0,000747285193 | 0,008673864270 | 0,053573442967 | 0,204099653380 | 0,523571123530 |
| 25 | 0,000000000001 | 0,00000007694 | 0,000002587265 | 0,000160534957 | 0,003302727162 | 0,030712030645 | 0,155131072523 | 0,474846654674 |
| 30 | 0,000000000000 | 0,000000000243 | 0,000000255043 | 0,000035069920 | 0,001276875829 | 0,017837338878 | 0,119081631302 | 0,432942556691 |
| 35 | 0,000000000000 | 0,000000000008 | 0,000000025459 | 0,000007752863 | 0,000499069156 | 0,010458202267 | 0,092075853856 | 0,396267032667 |
| 40 | 0,000000000000 | 0,000000000000 | 0,000000002565 | 0,000001729199 | 0,000196670007 | 0,006176003848 | 0,071593760704 | 0,363764863631 |
| 45 | 0,000000000000 | 0,000000000000 | 0,000000000260 | 0,000000388347 | 0,000078000988 | 0,003667918727 | 0,055915903620 | 0,334689980429 |
| 50 | 0,000000000000 | 0,000000000000 | 0,000000000027 | 0,000000087697 | 0,000031095600 | 0,002188389886 | 0,043829597665 | 0,308489455084 |
| 55 | 0,000000000000 | 0,000000000000 | 0,000000000003 | 0,000000019893 | 0,000012449019 | 0,001310622620 | 0,034458940574 | 0,284738500816 |
| 60 | 0,000000000000 | 0,000000000000 | 0,000000000000 | 0,000000004529 | 0,000005001589 | 0,000787439125 | 0,027159914395 | 0,263101381344 |
| 65 | 0,000000000000 | 0,000000000000 | 0,000000000000 | 0,000000001035 | 0,000002015513 | 0,000474393995 | 0,021452459940 | 0,243306556750 |
| 70 | 0,000000000000 | 0,000000000000 | 0,000000000000 | 0,000000000237 | 0,000000814301 | 0,000286472154 | 0,016974843658 | 0,225130148831 |
| 75 | 0,000000000000 | 0,000000000000 | 0,000000000000 | 0,000000000054 | 0,000000329731 | 0,000173346614 | 0,013452108304 | 0,208384513280 |
| 80 | 0,000000000000 | 0,000000000000 | 0,000000000000 | 0,000000000013 | 0,000000133779 | 0,000105082216 | 0,010673758914 | 0,192910072478 |
| 85 | 0,000000000000 | 0,000000000000 | 0,000000000000 | 0,000000000003 | 0,000000054372 | 0,000063801596 | 0,008477689316 | 0,178569294172 |
| 90 | 0,000000000000 | 0,000000000000 | 0,000000000000 | 0,000000000001 | 0,000000022133 | 0,000038791893 | 0,006738429983 | 0,165242110603 |
| 95 | 0,000000000000 | 0,000000000000 | 0,000000000000 | 0,000000000000 | 0,000000009022 | 0,000023614677 | 0,005358449010 | 0,152822307815 |
| 100 | 0,000000000000 | 0,000000000000 | 0,000000000000 | 0,000000000000 | 0,000000003682 | 0,000014390588 | 0,004261646304 | 0,141214548436 |
| 105 | 0,000000000000 | 0,000000000000 | 0,000000000000 | 0,000000000000 | 0,000000001505 | 0,000008776967 | 0,003388445050 | 0,130331757346 |
| 110 | 0,000000000000 | 0,000000000000 | 0,000000000000 | 0,000000000000 | 0,000000000615 | 0,000005356346 | 0,002692059485 | 0,120092608596 |
| 115 | 0,000000000000 | 0,000000000000 | 0,000000000000 | 0,000000000000 | 0,000000000252 | 0,000003269544 | 0,002135636294 | 0,110418789446 |
| 120 | 0,000000000000 | 0,000000000000 | 0,000000000000 | 0,000000000000 | 0,000000000103 | 0,000001994958 | 0,001690047596 | 0,101231526554 |
| 125 | 0,000000000000 | 0,000000000000 | 0,000000000000 | 0,000000000000 | 0,000000000042 | 0,000001215453 | 0,001332167366 | 0,092446372814 |
| 130 | 0,000000000000 | 0,000000000000 | 0,000000000000 | 0,000000000000 | 0,000000000017 | 0,000000737932 | 0,001043493568 | 0,083963955252 |
| 135 | 0,000000000000 | 0,000000000000 | 0,000000000000 | 0,000000000000 | 0,000000000007 | 0,000000444609 | 0,000808974238 | 0,075650425020 |
| 140 | 0,000000000000 | 0,000000000000 | 0,000000000000 | 0,000000000000 | 0,000000000003 | 0,000000263378 | 0,000615786122 | 0,067286308260 |
| 145 | 0,000000000000 | 0,000000000000 | 0,000000000000 | 0,000000000000 | 0,000000000001 | 0,000000149443 | 0,000451083376 | 0,058379001691 |
| 150 | 0,000000000000 | 0,000000000000 | 0,000000000000 | 0,000000000000 | 0,000000000000 | 0,000000006932 | 0,000286034141 | 0,046470439292 |

Практичні результати для атаки з чекпоінтами

Табл.: Ймовірність атаки подвійної витрати для випадку блокчейну з чекпоінтами (відстань між чекпоінтами $n = 200$).

| π | 0,1 | 0,15 | 0,2 | 0,25 | 0,3 | 0,35 | 0,4 | 0,45 |
|-------|----------------|----------------|----------------|----------------|----------------|----------------|----------------|-----------------|
| 5 | 0,001781840000 | 0,011257326211 | 0,039162880000 | 0,097854614258 | 0,197617320000 | 0,343438571047 | 0,533134636576 | 0,756125866792 |
| 10 | 0,000007859765 | 0,000287014738 | 0,003158241098 | 0,017806558608 | 0,065106713763 | 0,174947200730 | 0,372182994672 | 0,656435021106 |
| 15 | 0,00000039252 | 0,000008223010 | 0,000283612899 | 0,003568552309 | 0,023307657870 | 0,095273444155 | 0,272424592626 | 0,584209512729 |
| 20 | 0,000000000207 | 0,000000247918 | 0,000026719163 | 0,000747285193 | 0,008673864270 | 0,053573445654 | 0,204115734146 | 0,526460282281 |
| 25 | 0,000000000001 | 0,00000007694 | 0,000002587265 | 0,000160534957 | 0,003302727162 | 0,030712033708 | 0,155149391919 | 0,478135966926 |
| 30 | 0,000000000000 | 0,000000000243 | 0,000000255043 | 0,000035069920 | 0,001276875829 | 0,017837342300 | 0,119102083945 | 0,436612451479 |
| 35 | 0,000000000000 | 0,000000000008 | 0,000000025459 | 0,00000752863 | 0,000499069156 | 0,010458206309 | 0,092098379011 | 0,4003035913040 |
| 40 | 0,000000000000 | 0,000000000000 | 0,000000002565 | 0,000001729199 | 0,000196670007 | 0,006176007966 | 0,071618328652 | 0,368166634922 |
| 45 | 0,000000000000 | 0,000000000000 | 0,000000000260 | 0,000000388347 | 0,000078000988 | 0,003667923191 | 0,055942508364 | 0,339452717950 |
| 50 | 0,000000000000 | 0,000000000000 | 0,000000000027 | 0,000000087697 | 0,000031095600 | 0,002188394698 | 0,043858252923 | 0,313614658360 |
| 55 | 0,000000000000 | 0,000000000000 | 0,000000000003 | 0,000000019893 | 0,000012449019 | 0,001310627788 | 0,034489677678 | 0,290230687739 |
| 60 | 0,000000000000 | 0,000000000000 | 0,000000000000 | 0,000000001529 | 0,000005001589 | 0,000787444658 | 0,027192781458 | 0,268967902899 |
| 65 | 0,000000000000 | 0,000000000000 | 0,000000000000 | 0,000000001035 | 0,000002015513 | 0,000474399905 | 0,021487521977 | 0,249557573293 |
| 70 | 0,000000000000 | 0,000000000000 | 0,000000000000 | 0,000000000237 | 0,000000814301 | 0,000286478457 | 0,017012183522 | 0,231778741347 |
| 75 | 0,000000000000 | 0,000000000000 | 0,000000000000 | 0,000000000054 | 0,000000329731 | 0,000173353331 | 0,013491828441 | 0,215446923563 |
| 80 | 0,000000000000 | 0,000000000000 | 0,000000000000 | 0,000000000013 | 0,000000133779 | 0,000105089370 | 0,010715984023 | 0,200406082166 |
| 85 | 0,000000000000 | 0,000000000000 | 0,000000000000 | 0,000000000003 | 0,000000054372 | 0,000063809215 | 0,008522570119 | 0,186522768372 |
| 90 | 0,000000000000 | 0,000000000000 | 0,000000000000 | 0,000000000001 | 0,000000022133 | 0,000033800014 | 0,006786148445 | 0,173681151227 |
| 95 | 0,000000000000 | 0,000000000000 | 0,000000000000 | 0,000000000000 | 0,000000009022 | 0,000023623341 | 0,005409225536 | 0,161782689041 |
| 100 | 0,000000000000 | 0,000000000000 | 0,000000000000 | 0,000000000000 | 0,000000003682 | 0,000014399848 | 0,004315749784 | 0,150737548857 |
| 105 | 0,000000000000 | 0,000000000000 | 0,000000000000 | 0,000000000000 | 0,000000001505 | 0,000008786888 | 0,003446620710 | 0,140468572918 |
| 110 | 0,000000000000 | 0,000000000000 | 0,000000000000 | 0,000000000000 | 0,000000000615 | 0,000005367011 | 0,002753895343 | 0,130906651512 |
| 115 | 0,000000000000 | 0,000000000000 | 0,000000000000 | 0,000000000000 | 0,000000000252 | 0,000003281061 | 0,002202076154 | 0,121990001609 |
| 120 | 0,000000000000 | 0,000000000000 | 0,000000000000 | 0,000000000000 | 0,000000000103 | 0,000002007468 | 0,001761786403 | 0,113663077579 |
| 125 | 0,000000000000 | 0,000000000000 | 0,000000000000 | 0,000000000000 | 0,000000000042 | 0,000001229156 | 0,001410148124 | 0,105875658468 |
| 130 | 0,000000000000 | 0,000000000000 | 0,000000000000 | 0,000000000000 | 0,000000000017 | 0,000000753117 | 0,001129058337 | 0,098582068548 |
| 135 | 0,000000000000 | 0,000000000000 | 0,000000000000 | 0,000000000000 | 0,000000000007 | 0,000000461730 | 0,000094169640 | 0,091714049599 |
| 140 | 0,000000000000 | 0,000000000000 | 0,000000000000 | 0,000000000000 | 0,000000000003 | 0,000000283242 | 0,000724094503 | 0,085312375427 |
| 145 | 0,000000000000 | 0,000000000000 | 0,000000000000 | 0,000000000000 | 0,000000000001 | 0,000000173836 | 0,000579782387 | 0,079261811431 |
| 150 | 0,000000000000 | 0,000000000000 | 0,000000000000 | 0,000000000000 | 0,000000000000 | 0,000000106732 | 0,000464030860 | 0,073554993616 |
| 155 | 0,000000000000 | 0,000000000000 | 0,000000000000 | 0,000000000000 | 0,000000000000 | 0,000000065549 | 0,000371100901 | 0,068159569658 |
| 160 | 0,000000000000 | 0,000000000000 | 0,000000000000 | 0,000000000000 | 0,000000000000 | 0,000000040259 | 0,000296413404 | 0,063043895474 |
| 165 | 0,000000000000 | 0,000000000000 | 0,000000000000 | 0,000000000000 | 0,000000000000 | 0,000000024720 | 0,000236308961 | 0,058176040304 |
| 170 | 0,000000000000 | 0,000000000000 | 0,000000000000 | 0,000000000000 | 0,000000000000 | 0,000000015166 | 0,000187856792 | 0,053522307927 |
| 175 | 0,000000000000 | 0,000000000000 | 0,000000000000 | 0,000000000000 | 0,000000000000 | 0,000000009287 | 0,000148701272 | 0,049044771061 |
| 180 | 0,000000000000 | 0,000000000000 | 0,000000000000 | 0,000000000000 | 0,000000000000 | 0,000000005641 | 0,000116935587 | 0,044696627996 |
| 185 | 0,000000000000 | 0,000000000000 | 0,000000000000 | 0,000000000000 | 0,000000000000 | 0,000000003427 | 0,000090990050 | 0,040412107221 |
| 190 | 0,000000000000 | 0,000000000000 | 0,000000000000 | 0,000000000000 | 0,000000000000 | 0,000000002038 | 0,000069509188 | 0,036079746521 |
| 195 | 0,000000000000 | 0,000000000000 | 0,000000000000 | 0,000000000000 | 0,000000000000 | 0,000000001161 | 0,000051108631 | 0,031444076792 |
| 200 | 0,000000000000 | 0,000000000000 | 0,000000000000 | 0,000000000000 | 0,000000000000 | 0,000000000545 | 0,000032584987 | 0,025217891626 |

Висновки

- Було здійснено огляд літератури за зазначеною тематикою дослідження;
- Ознайомилися з протоколами консенсусу Proof of Work та Proof of Stake, та атаками, що можуть відбутися у кожній консенсусній моделі;
- Отримано явний вираз імовірності для атаки подвійної витрати на протокол консенсусу Proof of Stake за умови існування чекпоінтів;
- Отримано чисельні результати за доведеною формулою, та переконалися, що вони підтверджують адекватність отриманої формули.

Дякую за увагу!